



## تهیه نانو پودر سیلیکات منیزیم و بررسی ریز ساختار آن به روش ریتولد

سید روح الله عقدایی<sup>\*</sup>، زهرا محمد صادقی

دانشکده فیزیک، دانشگاه علم و صنعت ایران

(دریافت مقاله: ۸۹/۱۱/۳۰، نسخه نهایی: ۹۰/۴/۲۹)

چکیده: در این پژوهش نانو پودر سیلیکات منیزیم ( $Mg_2SiO_4$ )، به روش سل-ژل تهیه و با پالایش ساختار به روش ریتولد، ریز ساختار آن در چند دمای باز پخت تعیین و گزارش شده است. این بررسی نشان می‌دهد که روش سل-ژل به کار رفته در این پژوهش منجر به تولید نانو پودری شامل آمیزه‌ای از فازهای  $MgO$  و  $Mg_2SiO_4$  می‌شود که درصد وزنی آنها به ترتیب در حدود ۷۵ درصد و ۲۵ درصد است. تحلیل پهن‌شدگی خطوط پراش نشان می‌دهد که شکل بلورک‌های سیلیکات منیزیم تقریباً کروی است و میانگین اندازه‌ی حجمی این بلورک‌ها پس از بازپخت در گستره‌ی  $800^{\circ}\text{C}$  تا  $1100^{\circ}\text{C}$  از  $50\text{ nm}$  تا  $20\text{ nm}$  تغییر می‌کند. پژوهش بیشتر با فرض ناهمسانگرد بودن پهن‌شدگی خطوط پراش ثابت می‌کند که کرنش شبکه و میانگین اندازه‌ی بلورک‌های هر دو فاز، به شاخص‌های میلر وابسته است، ولی این وابستگی برای کرنش نمایان‌تر از وابستگی اندازه‌ی بلورک‌ها به راستاهای بلورشناسی است.

واژه‌های کلیدی:  $Mg_2SiO_4$ ، نانو پودر، روش ریتولد، ریز ساختار، دمای باز پخت.

شیمیابی خوبی حتی در دماهای بالا است. دمای ذوب نسبتاً بالای این ماده ( $1890^{\circ}\text{C}$ )، باعث می‌شود که این سیلیکات، گرینه‌ی بسیار خوبی به عنوان یک ماده دیرگذار برای کاربردهای دمای بالا به شمار آید [۲]. نوع دیگری از سیلیکات منیزیم (رینگ وودایت) (Ringwoodite) در سامانه‌ی مکعبی گروه فضایی  $Fd\bar{3}m$  با ساختار گاما-اسپینل ( $\gamma$ -Spinel) مبتلور می‌شود و ثابت شبکه‌ی آن  $a = 8.1385\text{ \AA}$  است [۳].

در سال‌های اخیر برخی سرامیک‌های دارای  $\text{Mg}$  و  $\text{Si}$  برای ساخت مواد استخوانی مورد توجه قرار گرفته‌اند و از این رو، سرامیک  $Mg_2SiO_4$  می‌تواند به عنوان یک بیوسرامیک جدید و مناسب با ویژگی‌های مکانیکی بالا و زیست سازگاری در ترمیم بافت‌های سخت مورد استفاده قرار گیرد [۴].

### مقدمه

سیلیکات منیزیم با فرمول شیمیابی  $Mg_2SiO_4$  از جمله سنگ‌های آذرین است که با نام زبرجد و نیز Olivine شناخته شده است. این ماده از خانواده‌ی بلورهای  $Pbnm$  است که در سامانه‌ی راست گوشمای در گروه فضایی متبلور می‌شود و ثابت‌های شبکه‌ی آن عبارتند از:  $a = 4.7540\text{ \AA}$ ،  $b = 10.1971\text{ \AA}$  و  $c = 5.9806\text{ \AA}$ .

ساختار  $Mg_2SiO_4$  پیوندهای قوی‌تر، یون‌های تنگ پکیده-تر و در نتیجه چگالی ( $\rho = 3.27\text{ g/cm}^3$ ) و سختی بالاتر نسبت به سیلیکات‌های همانند دیگر دارد. این ماده را می‌توان به عنوان یک زیر لایه‌ی ایده‌آل در کاربردهای الکترونیکی دانست، چرا که دارای رسانش الکتریکی پایین و پایداری

\* نویسنده مسئول، تلفن: ۰۲۱ ۷۷۲۴۰۴۹۷، نامابر: ۰۲۱ ۷۷۲۴۰۴۹۷، پست الکترونیکی: aghdaee@iust.ac.ir

نمونه‌ی MgO با خلوص ۹۹,۹۹ درصد نیز در همان شرایط، نقش پراش تهیه و از آن برای تصحیح اثرهای دستگاهی استفاده شد.

#### تحلیل پهن شدگی خطوط پراش

نمایه‌ی  $^3$  پرتوی X مشاهده شده  $(2\theta)$  Y را می‌توان پیچش<sup>۴</sup> نمایه‌ی فیزیکی نمونه B( $2\theta$ ) و نمایه‌ی دستگاهی I( $2\theta$ ) دانست [۶]:

$$Y(2\theta) = B(2\theta) \otimes I(2\theta) \quad (1)$$

که در آن B تابع شدت زمینه است که معمولاً با چند جمله‌ای از مرتبه چهار و بالاتر شبیه‌سازی می‌شود. برای تعیین ریزساختار ماده‌ی بلوری باید نمایه‌ی فیزیکی B( $2\theta$ ) را به راهی از نمایه‌ی مشاهده شده به دست آورد. چند روش برای این کار وجود دارد ولی مناسب‌ترین روش استفاده از یک نمونه‌ی استاندارد است. نمونه‌ی استاندارد به نمونه‌ای گفته می‌شود که بلورک‌های آن به اندازه‌ی کافی بزرگ (بزرگتر از  $10^{-4} \text{ cm}$ ) و بی‌کرنش بوده و پهن شدگی ناشی از آن ناچیز باشد. برخی از این نمونه‌ها عبارتند از MgO، LaB<sub>6</sub>، KCl و Dr. صورت امکان بهتر است نمونه‌ی استاندارد را از همان ماده‌ی در دست بررسی، انتخاب و با عملیات گرمایی (پخت مناسب) آن را به نمونه‌ی استاندارد تبدیل کرد. نمایه‌ی پهن شدگی فیزیکی، خود پیچش نمایه‌ی پهن شدگی اندازه‌ی بلورک‌ها و نمایه‌ی پهن شدگی کرنش است. این دو اثر یکی با  $\frac{1}{\cos \theta}$  و دیگری با  $\tan \theta$  متناسب است [۸,۷]. بر این پایه دو اثر را می‌توان از یکدیگر جدا کرد. اگر نمایه‌ی پهن شدگی ناشی از اندازه‌ی بلورک‌ها و کرنش، هر دو لورنتسی فرض شوند، پهنانی انتگرالی نمایه‌ی فیزیکی  $\beta$  از جمع پهنانی انتگرالی نمایه‌ی اندازه‌ی  $\beta_D$  و  $\beta_S$  پهنانی انتگرالی نمایه‌ی کرنش به دست می‌آید [۶]:

$$\frac{\beta \cos \theta}{\lambda} = \frac{1}{D_V} + 2e \left( \frac{2 \sin \theta}{\lambda} \right) \quad (2)$$

در فضای وارون، رابطه‌ی بالا را می‌توان به صورت زیر نوشت:

$$\beta^* = \frac{1}{D_V} + 2ed^* \quad (3)$$

از آنجا که ویژگی‌های فیزیکی نانو مواد به اندازه‌ی بلورک‌ها و کرنش آنها بستگی دارد، آگاهی از این ویژگی‌ها و پایش آنها برای دستیابی به ویژگی‌های فیزیکی مورد نظر، بسیار ضروری است. در این پژوهش از نمونه‌های Mg<sub>2</sub>SiO<sub>4</sub> که به روش سل-پخت<sup>۱</sup> شده‌اند، نقش پراش پرتوهای X گرفته شد و با روش ریتولد، داده‌های پراش پالایش و اندازه‌ی بلورک‌ها و کرنش شبکه‌ی نمونه‌ها تعیین شد و مورد بحث قرار گرفت.

#### کار تجربی

در تهیه‌ی نمونه‌ی نانوپودر Mg<sub>2</sub>SiO<sub>4</sub> به روش سل ژل، نیترات منیزیم شش آبه (Mg(NO<sub>3</sub>)<sub>2</sub>.6H<sub>2</sub>O) و تتراتیل ارتوسیلیکات (TEOS) به عنوان پیش ماده‌ها انتخاب شد که انتظار می‌رود بر پایه‌ی رابطه‌ی زیر، این واکنش در حضور اسید نیتریک HNO<sub>3</sub> منجر به تشکیل Forsterite شود [۵]:

$$2\text{Mg}(\text{NO}_3)_2 \cdot 6\text{H}_2\text{O} + (\text{CH}_3\text{CH}_2\text{O})_4\text{Si} \xrightarrow{\text{HNO}_3} \text{Mg}_2\text{SiO}_4 + 4\text{CH}_3\text{CH}_2\text{OH} + 8\text{H}_2\text{O} + 4\text{HNO}_3$$

به همین منظور در نخست ۲,۸۳ گرم TEOS هم ارز ۳,۰۱ میلی‌لیتر از آن، در ۱۰۰ میلی‌لیتر از HNO<sub>3</sub> ۱ مولار حل شد. به این محلول ۶,۸۳ گرم Mg(NO<sub>3</sub>)<sub>2</sub>.6H<sub>2</sub>O اضافه و به مدت ۲ ساعت و در دمای اتاق با همزن مغناطیسی، همزده شد تا یک سل شفاف به دست آید. سپس سل بی‌رنگ تهیه شده، به مدت ۱۲ ساعت در دمای ۶۵°C قرار گرفت تا کهنه<sup>۲</sup> و پایدار شود. ژل تشکیل شده در این مرحله، سفید رنگ و خشک به نظر می‌آید. چهار نمونه‌ی تهیه شده، هر یک به مدت ۹۰ دقیقه در دماهای گوناگون ۸۰۰، ۹۰۰، ۱۰۰۰ و ۱۱۰۰°C باز پخت شدند.

از نمونه‌های به دست آمده با پراش سنج PW-3710 Philips به روش روش گام به گام، در گستره‌ی زاویه‌ی پراش ۲۰ تا ۸۰ درجه، با پهنانی گام  $\Delta 2\theta = 0.02^\circ$  و زمان شمارش ۵ ثانیه، با تابش CuKα با طول موج‌های  $\lambda_1 = 1.54056\text{\AA}$  و  $\lambda_2 = 1.54439\text{\AA}$ ، نقش پراش پرتو X تهیه شد. از یک

3- Profile

4- Convulsion

1- Annealing Temperature

2- Aged

دهنده‌ی سهم گاؤسی پهن‌شدگی ناشی از اندازه‌ی بلورک‌ها در فرمول شر<sup>۷</sup> [۷] است:

$$\beta_S = \frac{\lambda}{D_V \cos \theta} \quad (6)$$

طول موج به کار رفته و  $\theta$  زاویه‌ی براگ است. رابطه‌ی پهنای لورنتسی نمایه، شامل X سهم لورنتسی پهن‌شدگی ناشی از اندازه‌ی بلورک‌ها و Y سهم لورنتسی پهن‌شدگی ناشی از کرنش است. جمله‌ای که در رابطه‌ی (۵) با  $\tan \theta$  تغییر می‌کند، برآمده از تعریف ویلسون و استوکس [۸] از کرنش شبکه است:

$$e = \frac{\beta_D}{4 \tan \theta} \quad (7)$$

e حد بالای کرنش و  $\beta_D$  پهنای انتگرالی نمایه‌ی کرنش است. از این رو به آسانی می‌توان دریافت که در معادله‌های (۴) و (۵) پارامترهای Y با پهن‌شدگی ناشی از اندازه‌ی بلورک‌ها و X و U با پهن‌شدگی ناشی از کرنش ارتباط دارد.

### پهن‌شدگی دستگاهی

همه‌ی پراش سنج‌ها موجب پهن‌شدگی می‌شوند که این پهن‌شدگی باستی به‌دقت تعیین و در محاسبات منظور شود تا اطلاعات ریزساختاری به‌دست آمده قابل اعتماد باشند. در پراش سنج پرتوهای X، پشن‌دگی طول موج و شکاف‌های سولر<sup>۹</sup> به‌ترتیب در پهن‌شدگی نقش عمده دارند [۶]:

$$\beta_L = 2\left(\frac{\Delta\lambda}{\lambda}\right)\tan\theta, \quad \beta_G = cte. \quad (8)$$

بنابراین در اولین تقریب، پهن‌شدگی دستگاهی را می‌توان با پالایش پارامترهای Y و W شبیه سازی کرد [۱۳]. با وجود این بهتر است پارامترهای دیگر را نیز پالایید.

### پهن‌شدگی فیزیکی

برای تعیین سهم پهن‌شدگی فیزیکی پارامترهای U، X، Y و Z در معادله‌های (۴) و (۵) پالایش و سپس با روابط زیر مقادیر پالایش شده برای اثرهای دستگاهی تصحیح می‌شوند:

$$U_{eff} = U - U_S \quad (9-الف)$$

$$X_{eff} = X - X_S \quad (9-ب)$$

8- Scherrer Formula  
9- Soller Slits

با رسم  $\beta^*$  بر حسب  $d^*$  و برازش خط راست (نمودار ویلیامسون - هال) می‌توان کرنش و میانگین اندازه‌ی حجمی بلورک‌ها را به‌دست آورد. اگر  $\beta^*$  تابع خطی از  $d^*$  نباشد، یعنی مقادیر  $\beta^*$  پراکنده باشند، پهن‌شدگی همسانگرد نبوده و تابعی از شاخص‌های h k l است. در این صورت دیگر نمی‌توان از نمودار ویلیامسون-هال، ریز ساختار را محاسبه کرد.

### روش ریتولد<sup>۱۰</sup>

روش ریتولد در آغاز برای پالایش ساختار<sup>۱۱</sup> پیشنهاد شد ولی در سال‌های اخیر به طور فزاینده‌ای برای تعیین ریزساختار مواد بلوری به کار گرفته شده است. برنامه‌ی اصلی ریتولد در سال ۱۹۶۹ [۹] برای نقش پراش نوترون با توان جداسازی (تفکیک) کم نوشته شده بود. شکل خطوط پراش با تابع گاؤسی توصیف می‌شود که تابع مناسبی بود. با بهترشدن توان جداسازی (تفکیک) پراش سنج‌ها به ویژه پراش سنج پرتوهای X و تابش سینکروtron دیگر نمی‌توان از تابع گاؤسی، برای توصیف نمایه-پراش بهره گرفت. امروزه در بیشتر برنامه‌های ریتولد، از تابع ویت<sup>۷</sup> که پیچش تابع گاؤسی و لورنتسی است، استفاده می‌شود و به طور ضمنی فرض شده است که نمایه‌های مشاهده شده از نوع ویت هستند [۱۰].

چون پیچش هر تعداد تابع ویت خود یک تابع ویت است، رابطه‌های زیر را می‌توان برای پهنای گاؤسی و پهنای لورنتسی نمایه‌های مشاهده شده نوشت:

$$\Gamma_G^2 = U \tan^2 \theta + V \tan \theta + W / \cos^2 \theta \quad (4)$$

$$\Gamma_L = X \tan \theta + Y / \cos \theta \quad (5)$$

که در آن  $\Gamma$  پهنای نمایه در نیم بیشینه‌ی خط پراش (FWHM) و U، V، W، X، Y و Z پارامترهای پالایش پذیرنده، و نیز L و G به ترتیب عبارتند از: نمایه‌های لورنتسی و گاؤسی. رابطه‌ی (۴) همان رابطه‌ی معروف Cagliotti و همکارانش [۱۱] است که برای توصیف نمایه‌های پراش نوترون با رعایت تقریب گاؤسی، محاسبه شده است. جمله‌ی Z را یانگ و دسای [۱۲] به آن رابطه افزوده و نشان

5- Rietveld Method

6- Structure Refinement

7- Voigt Function

نشان داد که تأثیر این متغیرها بر پهنهای مؤلفه گاؤسی و لورنتسی نمایه‌ی فیزیکی به صورت زیر خواهد بود [۱۵]:

$$\Gamma_G^2 = U \tan^2 \theta + V \tan \theta + W + (1 - \xi)^2 \Gamma_A^2 (hkl) \quad (۱۷)$$

$$\Gamma_L = X \tan \theta + \frac{Y}{\cos \theta} + \xi \Gamma_A (hkl) \quad (۱۸)$$

$$\sigma^2(M_{hkl}) \text{ و } \Gamma_A = \left[ \sigma^2(M_{hkl}) \right]^{\frac{1}{2}} \frac{\tan \theta}{M_{hkl}} \text{ که در آنها} \\ \text{واریانس } M_{hkl} \text{ است.}$$

پارامتری است که با وارد کردن در تابع ویت می‌توان نمایه‌ای با شکل ویت و پهن شدگی ناهمسانگرد را توصیف کرد. پهن شدگی ناهمسانگرد اندازه‌ی بلورک‌ها را می‌توان از بسط فرمول شرر که در آن پهن شدگی ترکیب خطی هماهنگ‌های کروی فرض می‌شود، توصیف نمود [۱۶].

$$\beta_h = \frac{\lambda}{D_h \cos \theta} = \frac{\lambda}{\cos \theta} \sum_{lmp} a_{lmp} p_{lmp} (\cos \Theta_h) \begin{cases} \cos m \Phi_h \\ \sin m \Phi_h \end{cases} \quad (۱۹)$$

$\beta_h$  سهم پهن شدگی ناشی از اندازه‌ی بلورک‌ها در پهنهای انتگرالی خط پراش  $hkl$  ( $\Theta_h, \Phi_h$ ) زاویه‌هایی است که بردار پراکندگی  $h$  با محورهای بلورشناسی می‌سازد. با پالایش ضرایب  $a_{lmp}$ ، اندازه‌ی بلورک‌ها در راستاهای مختلف بلور به دست می‌آید.

### تحلیل داده‌های پراش

نقش پراش نمونه‌ها به علت وجود بیش از ۱۰۰ خط پراش در بازه‌ی ۲۰ تا ۸۰ درجه و هم پوشانی آن‌ها نسبتاً پیچیده است. به گونه‌ای که با مقایسه‌ی مستقیم آن‌ها با کارت PDF-340189 وجود فاز  $Mg_2SiO_4$  را تأیید می‌کند. ولی این مقایسه نمی‌تواند وجود فازهای  $MgSiO_3$  یا  $MgO$  را اثبات یا رد کند. از این رو با برنامه‌ی Fullprof [۱۷] داده‌های پراش پالایش ساختار شدند. نخست با این فرض که نمونه‌ها تنها شامل فاز  $Mg_2SiO_4$  است، نتیجه‌ی پالایش رضایت‌بخش نبود و توافق قابل قبولی میان نقش‌های پراش مشاهده شده و محاسبه شده ملاحظه نگردید (شکل ۱-الف).

$$Y_{eff} = Y - Y_S \quad (۹-پ)$$

$$Z_{eff} = Z - Z_S \quad (۹-ت)$$

مقدارهای  $Z_S$ ،  $X_S$  و  $Y_S$  از پالایش نقش پراش نمونه‌ی استاندارد به دست می‌آیند و مقادیر سمت چپ معادلات بالا، مقادیر تصحیح شده‌ی متناظر با پهن شدگی فیزیکی هستند. پارامترهای چهار گانه‌ی بالا پهنهای نمایه در نیم بیشینه (FWHM) است که با رابطه‌های (۱۰)، (۱۱)، (۱۳) و (۱۴) به مقادیر پهنهای انتگرالی تبدیل و سپس با به کارگیری رابطه‌های (۱۲) و (۱۵)، میانگین اندازه‌ی بلورک‌ها و کرنش شبکه محاسبه می‌شوند:

$$\beta_{SL}^* = \frac{\pi^2}{360\lambda} Y_{eff}, \beta_{SG}^* = \frac{\pi^2}{360\lambda} \left( \frac{Z_{eff}}{\pi \ln 2} \right)^{\frac{1}{2}} \quad (۱۰)$$

$$\beta_S^* = \frac{1}{3} \left[ 2\beta_{SL}^* + \left( \beta_{SL}^{*2} + 9\beta_{SG}^{*2} \right)^{\frac{1}{2}} \right] \quad (۱۱)$$

$$D_V = \frac{1}{\beta_S^*} \quad (۱۲)$$

$$\beta_{DL}^* = \frac{\pi^2}{360\lambda} X_{eff}, \beta_{DG}^* = \frac{\pi^2}{360\lambda} \left( \frac{U_{eff}}{\pi \ln 2} \right)^{\frac{1}{2}} \quad (۱۳)$$

$$\beta_D^* = \frac{1}{3} \left[ 2\beta_{DL}^* + \left( \beta_{DL}^{*2} + 9\beta_{DG}^{*2} \right)^{\frac{1}{2}} \right] \quad (۱۴)$$

$$\langle e^2 \rangle^{\frac{1}{2}} = \frac{\beta_D^*}{4} \quad (۱۵)$$

### پهن شدگی ناهمسانگرد

پهن شدگی ناهمسانگرد از کرنش ناهمسانگرد و کروی نبودن بلورک‌ها ناشی می‌شود. اگر کرنش ناهمسانگرد را ناشی از تغییرات ثابت‌های شبکه و همبستگی‌های آن‌ها بدانیم، در این صورت می‌توان نوشت [۱۴]:

$$\frac{1}{d_{hkl}^2} = M_{hkl} = Ah^2 + Bk^2 + Cl^2 + Dkl + EhI + FhK \quad (۱۶)$$

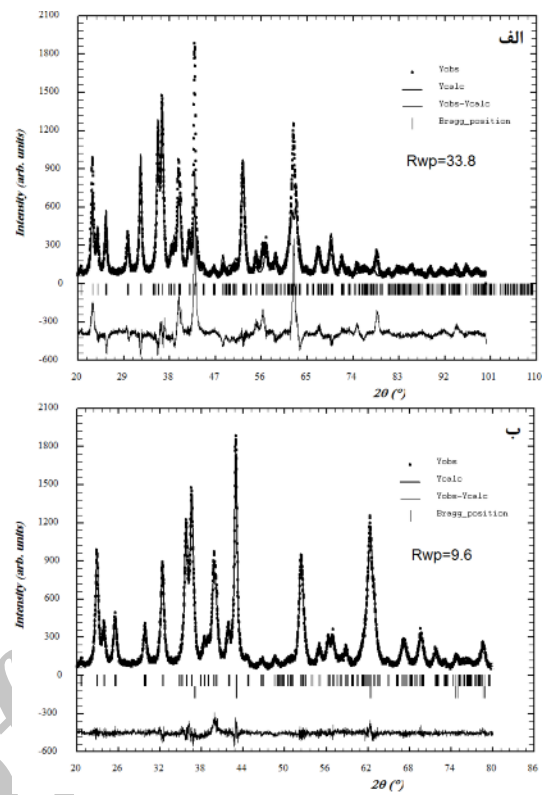
A، B، C، D، E و F پارامترهای متغیر شبکه‌ی وارون هستند. اگر فرض شود که توزیع این پارامترها موجب پهن شدگی نمایه کرنش می‌شود، یعنی هر بلورکی مقادیر A، B، C، D، E و F خود را دارد که متفاوت از میانگین این مقادیر است؛ می‌توان

که در آن  $I_{obs,i}$  و  $I_{cal,i}$  شدت‌های مشاهده شده و محاسبه شده در گام  $i$ -امند و  $W_i$  وزنی است که به هر یک از شدت‌ها داده می‌شود.

با روش ریتولد، درصد هر یک از دو فاز در نمونه تعیین شد. در روش ریتولد رابطه‌ی ساده‌ای بین عامل‌های مقیاس<sup>۱۰</sup> هر یک از فازها وجود دارد. درصد وزنی ( $W_i$ ) هر یک از فازها از رابطه‌ی زیر به دست می‌آید:

$$W_i = \frac{S_i (ZMW)_i}{\sum_i S_i (ZMW)_i} \quad (21)$$

که در آن  $S$  عامل مقیاس،  $Z$  عدد اتمی،  $M$  جرم مولکولی و  $V$  حجم یاخته‌ی یکه<sup>۱۱</sup> است [۱۸]. برای تصحیح اثرهای دستگاهی، داده‌های نقش پراش نمونه‌ی استاندارد، پالایش و مقادیر  $U_S$ ,  $X_S$  و  $Y_S$  تعیین شدند. سپس داده‌های پراش نمونه‌ی در دست بررسی، با فرض همسانگرد بودن پهن‌شدگی (بلورک‌های کروی با کرنش همسانگرد)، پالایش ساختار و ریزساختار شده، مقادیر  $U$ ,  $X$  و  $Z$  تعیین و با کاربرد رابطه‌های (۹) تا (۱۵)، اندازه‌ی بلورک‌ها و کرنش نمونه‌ها محاسبه شدند. نتایج حاصل از پالایش داده در جدول (۱) و نمودار تغییرات کرنش و اندازه‌ی بلورک‌ها بر حسب دمای بازپخت برای هر دو فاز، در شکل‌های (۲) و (۳) نشان داده شده است. چنانکه از شکل (۲-الف) پیداست، برای فاز  $Mg_2SiO_4$  تغییرات کرنش تابعی خطی از دما بوده و با افزایش دمای بازپخت کاهش می‌یابد ولی میانگین اندازه‌ی بلورک‌ها در بازه‌ی دمایی  $800$  تا  $900$  °C تقریباً ثابت مانده، و سپس به طور خطی با  $MgO$  شیب نسبتاً تند افزایش می‌یابد (شکل ۳-الف). برای فاز  $MgO$  میانگین اندازه‌ی بلورک‌ها به طور خطی با افزایش دما، افزایش یافته (شکل ۳-ب)، ولی کرنش نخست در بازه‌ی  $800$  تا  $1000$  °C به طور خطی کاهش و سپس در بازه‌ی دمایی  $1000$  تا  $1100$  °C افزایش می‌یابد که غیر عادی به نظر می‌رسد (شکل ۲-ب). شاید بتوان این افزایش در کرنش را بدین‌گونه توجیه کرد که بلورک‌های  $Mg_2SiO_4$  با میانگین اندازه‌ی  $49.7$  nm، مانند پوسته‌ای، بلورک‌های  $MgO$  با میانگین اندازه‌ی  $31.4$  nm را در بر گرفته و موجب کرنش بیشتر آن‌ها شوند.



شکل ۱ نقش پراش مشاهده شده و محاسبه شده نمونه<sub>۴</sub>  $Mg_2SiO_4$  با دمای باز پخت °C، ۸۰۰ با فرض (الف) نمونه<sub>۴</sub>  $Mg_2SiO_4$  نک فاز است، (ب) نمونه، آمیزه‌ای از دو فاز  $MgO$  و  $Mg_2SiO_4$  است.

به دنبال آن با فرض‌های دیگری پالایش ساختار تکرار شد ولی فرض وجود همزمان دو فاز  $Mg_2SiO_4$  و  $MgO$  منجر به کاهش ضریب سازگاری و همخوانی بسیار خوب میان نقش مشاهده شده و نقش محاسبه شده گردید (شکل ۱-ب).

K.P.Sanosh و همکارانش [۵]، به همین روش پودر  $Mg_2SiO_4$  تهیه و نمونه‌ی باز پخت شده در دمای °C را بررسی کرده، ولی به وجود فاز دیگری اشاره نکرده‌اند. شاید علت اساسی آن، همپوشانی شدید خطوط پراش دو فاز باشد که تشخیص مستقیم خطوط پراش  $MgO$  را نا ممکن می‌سازد. در روش ریتولد، برآش نقش‌های مشاهده شده و محاسبه شده با ضرایب سازگاری سنجیده می‌شوند که مهم‌ترین آن‌ها، ضریب سازگاری وزن‌دار شده‌ی،  $R_{WP}$  است که به صورت زیر تعریف می‌شود:

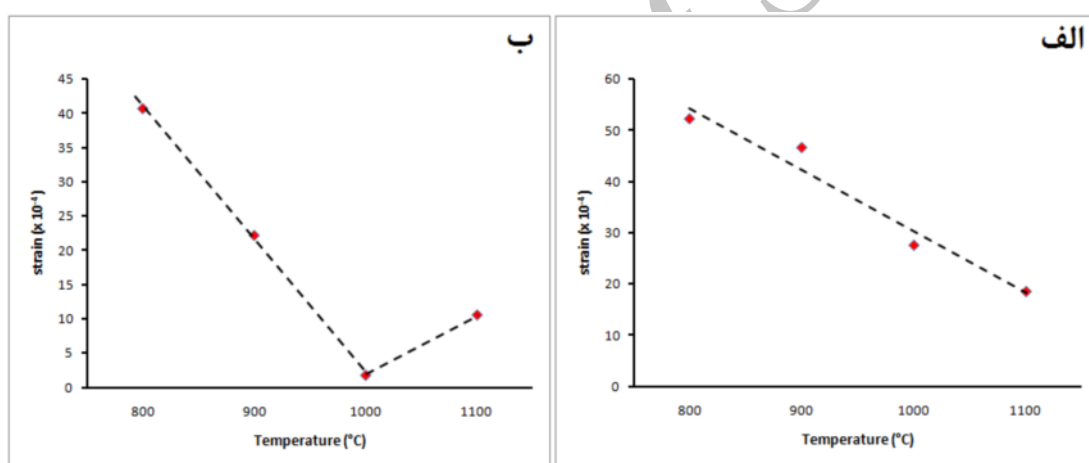
$$R_{wp} = 100 \times \left[ \frac{\sum_{i=1}^n W_i |(I_{obs,i} - I_{cal,i})|^2}{\sum_{i=1}^n W_i Y_i^2} \right]^{1/2} \quad (20)$$

این رو پالایش داده‌های پراش با فرض ناهمسانگرد بودن اندازه-ی بلورک‌ها و کرنش شبکه برای همه‌ی نمونه‌ها انجام شد که بخشی از نتایج به دست آمده در جدول‌ها (۲) و (۳) آمده‌اند.

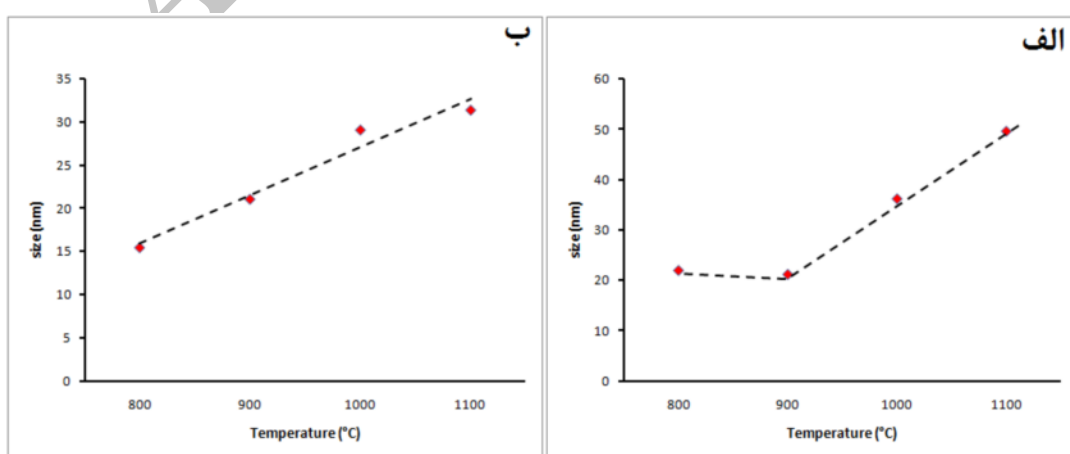
با مقادیر به دست آمده از پالایش داده‌های پراش نمونه‌ها، نمودار ویلیامسون – هال [۱۹] رسم شد. این نمودارها نشان می‌دهند که تغییرات  $\beta$  بر حسب  $d$  کاملاً خطی نیست. بنابراین پهن شدگی کم و بیش ناهمسانگرد است (شکل ۴). از

جدول ۱ میانگین اندازه‌ی حجمی بلورک‌ها  $\langle Dv \rangle^{1/2}$  درصد وزنی فازها و کیفیت برازش  $R_{WP}$  به دست آمده از پالایش داده‌ای پراش به روش ریتولد با فرض همسانگرد بودن پهن شدگی.

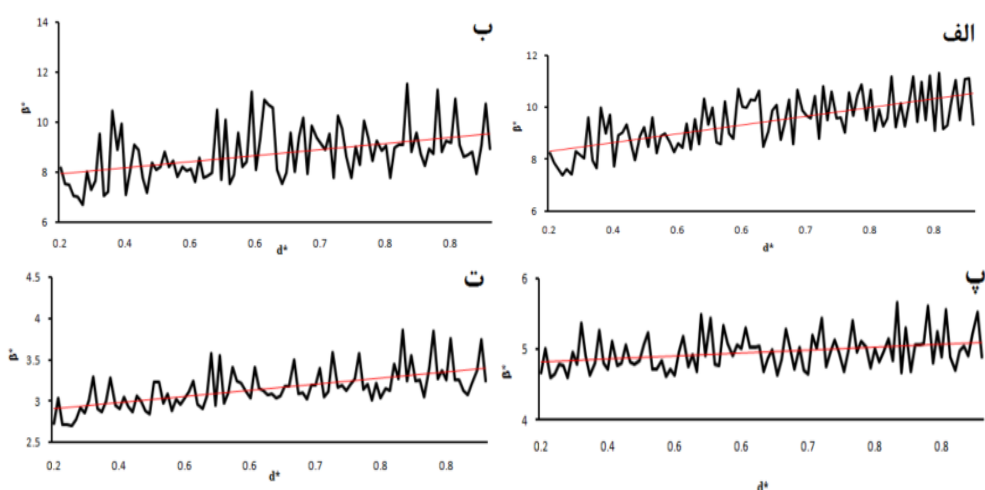
| دما<br>باز پخت<br>(°C) | $Mg_2SiO_4$                        |   |          | $MgO$                              |   |          | $R_{WP}$ |
|------------------------|------------------------------------|---|----------|------------------------------------|---|----------|----------|
|                        | $\langle Dv \rangle_{iso}$<br>(nm) | $\langle \epsilon^2 \rangle_{iso}^{1/2} \times 10^{-4}$ | درصد فاز | $\langle Dv \rangle_{iso}$<br>(nm) | $\langle \epsilon^2 \rangle_{iso}^{1/2} \times 10^{-4}$ | درصد فاز |          |
| ۸۰۰                    | ۲۱.۹(۱)                            | ۵۲.۱(۱)   | ۷۸.۵(۴)  | ۱۵.۵(۱)                            | ۴۰.۷(۲)   | ۲۱.۵(۱)  | ۹.۶      |
| ۹۰۰                    | ۲۱.۲(۲)                            | ۴۶.۶(۲)   | ۷۰.۹(۵)  | ۲۱.۲(۱)                            | ۲۲.۲(۱)   | ۲۹.۱(۳)  | ۱۲.۶     |
| ۱۰۰۰                   | ۳۶.۱(۱)                            | ۲۷.۶(۱)   | ۷۴.۷(۵)  | ۲۹.۱(۲)                            | ۱۸(۱)   | ۲۵.۳(۱)  | ۱۲.۸     |
| ۱۱۰۰                   | ۴۹.۷(۲)                            | ۱۸.۵(۱)   | ۷۴.۷(۵)  | ۳۱.۴(۲)                            | ۱۰.۶(۱)   | ۲۵.۳(۲)  | ۱۳.۴     |



شکل ۲ نمودار تغییرات کرنش بر حسب دمای باز پخت: (الف) فاز  $MgO$ ، (ب) فاز  $Mg_2SiO_4$



شکل ۳ نمودار تغییرات میانگین اندازه‌ی بلورک‌ها بر حسب دمای باز پخت: (الف) فاز  $MgO$ ، (ب) فاز  $Mg_2SiO_4$



شکل ۴ نمودار تغییرات  $\beta^*$  بر حسب  $d^*$  (نمودار ویلیامسون - هال) برای فاز  $Mg_2SiO_4$  و نمونه‌ی باز پخت شده در دماهای: (الف) ۸۰۰، (ب) ۹۰۰، (پ) ۱۰۰۰ و (ت) ۱۱۰۰°C.

جدول ۲ اندازه‌ی حجمی بلورک‌ها و کرنش شبکه‌ی فاز  $Mg_2SiO_4$  بهصورت تابعی از  $hkl$ . از مجموع ۱۰۰ خط پراش مشاهده شده، تنها خط پراش انتخاب شده‌اند) خطای محاسبه‌ی کمیت‌ها، کمتر از ۵٪ براورد می‌شود.

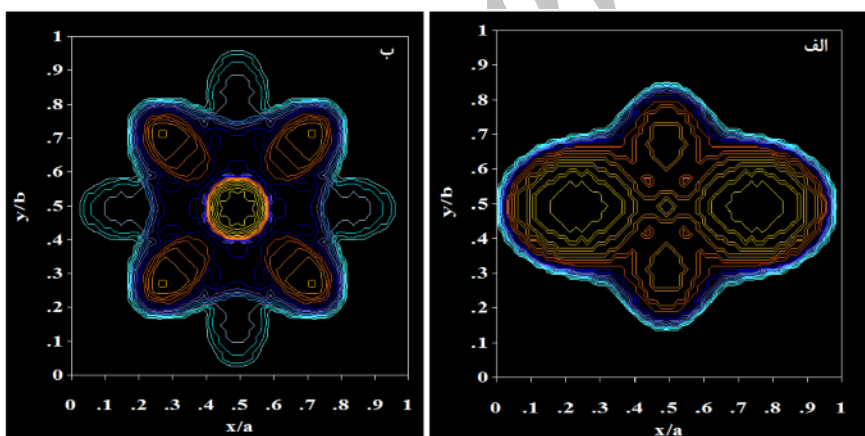
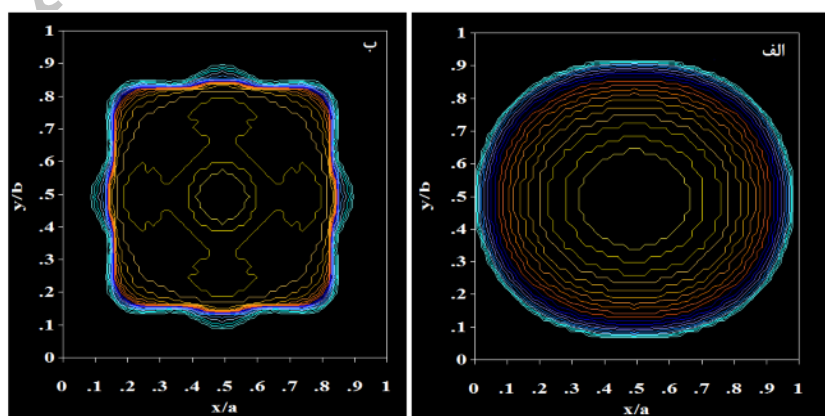
| hkl      | ۸۰۰ °C             |  | ۹۰۰ °C             |  | ۱۰۰۰ °C            |  | ۱۱۰۰ °C            |  |
|----------|--------------------|--|--------------------|--|--------------------|--|--------------------|--|
|          | $D_{v,aniso}$ (nm) | $\langle \varepsilon^r \rangle_{aniso}^{1/2} \times 10^{-4}$ | $D_{v,aniso}$ (nm) | $\langle \varepsilon^r \rangle_{aniso}^{1/2} \times 10^{-4}$ | $D_{v,aniso}$ (nm) | $\langle \varepsilon^r \rangle_{aniso}^{1/2} \times 10^{-4}$ | $D_{v,aniso}$ (nm) | $\langle \varepsilon^r \rangle_{aniso}^{1/2} \times 10^{-4}$ |
| ·۲۱      | ۱۳,۱               | ۲۱,۴   | ۱۳,۸               | ۲۲,۷   | ۲۰,۱               | ۵,۵  | ۳۴,۹               | ۶,۳  |
| ۱۰۱      | ۱۳,۵               | ۲۰,۸   | ۱۳,۹               | ۲۲,۹   | ۲۱,۸               | ۷,۹  | ۴۰,۰               | ۷,۷  |
| ۱۱۱      | ۱۴,۳               | ۲۵,۸   | ۱۴,۸               | ۲۰,۶   | ۲۱,۷               | ۷,۱  | ۳۹,۸               | ۶,۹  |
| ۱۲۰      | ۱۵,۰               | ۴۰,۱   | ۱۵,۱               | ۲۲,۸   | ۲۱,۰               | ۸,۰  | ۳۹,۴               | ۵,۹  |
| ·۰۲      | ۱۳,۴               | ۲۳,۵   | ۱۳,۸               | ۳۰,۸   | ۲۱,۸               | ۳,۸  | ۳۶,۹               | ۶,۱  |
| ۱۳۰      | ۱۴,۷               | ۳۹,۱   | ۱۴,۹               | ۲۴,۰   | ۲۰,۳               | ۷,۴  | ۳۸,۷               | ۷,۱  |
| ۱۳۱      | ۱۴,۸               | ۳۲,۸   | ۱۵,۳               | ۲۰,۴   | ۲۰,۵               | ۶,۲  | ۳۸,۱               | ۶,۶  |
| ۱۱۲      | ۱۴,۵               | ۲۵,۳   | ۱۵,۲               | ۲۲,۵   | ۲۱,۷               | ۴,۳  | ۳۹,۲               | ۷,۱  |
| ·۴۱      | ۱۱,۲               | ۲۴,۰   | ۱۲,۵               | ۲۷,۷   | ۱۹,۳               | ۷,۸  | ۳۴,۸               | ۸,۵  |
| ۲۱۰      | ۱۱,۴               | ۲۹,۶   | ۱۱,۲               | ۳۰,۴   | ۲۱,۸               | ۱۲,۱   | ۳۷,۲               | ۵,۷  |
| ۱۲۲      | ۱۴,۸               | ۲۵,۷   | ۱۵,۶               | ۲۰,۱   | ۲۱,۳               | ۴,۱  | ۳۸,۳               | ۶,۴  |
| ۱۴۰      | ۱۳,۸               | ۳۶,۹   | ۱۴,۱               | ۲۶,۱   | ۱۹,۹               | ۷,۷  | ۳۷,۸               | ۸,۰  |
| ۲۱۱      | ۱۲,۳               | ۲۶,۱   | ۱۲,۳               | ۲۶,۸   | ۲۱,۸               | ۱۰,۵   | ۳۸,۶               | ۶,۶  |
| ۱۳۲      | ۱۴,۷               | ۲۶,۱   | ۱۵,۴               | ۱۹,۲   | ۲۰,۸               | ۴,۴  | ۳۷,۵               | ۶,۱  |
| ۱۵۰      | ۱۳,۰               | ۳۴,۹   | ۱۳,۴               | ۲۷,۷   | ۱۹,۶               | ۷,۹  | ۳۷,۱               | ۸,۶  |
| ۱۵۱      | ۱۳,۳               | ۳۱,۹   | ۱۳,۸               | ۲۵,۴   | ۱۹,۷               | ۷,۳  | ۳۶,۷               | ۷,۹  |
| ۲۲۲      | ۱۴,۳               | ۲۵,۸   | ۱۴,۸               | ۲۰,۶   | ۲۱,۷               | ۷,۱  | ۳۹,۸               | ۶,۹  |
| ۲۴۰      | ۱۵,۰               | ۴۰,۱   | ۱۵,۱               | ۲۲,۸   | ۲۱,۰               | ۸,۰  | ۳۹,۴               | ۵,۹  |
| ۲۴۱      | ۱۵,۱               | ۳۷,۱   | ۱۵,۳               | ۲۱,۱   | ۲۱,۱               | ۷,۴  | ۳۹,۳               | ۶,۱  |
| ۲۳۲      | ۱۴,۹               | ۲۸,۹   | ۱۵,۴               | ۱۹,۲   | ۲۱,۴               | ۶,۵  | ۳۹,۵               | ۶,۵  |
| ۱۳۳      | ۱۴,۳               | ۲۵,۸   | ۱۵,۱               | ۲۱,۸   | ۳۷,۱               | ۵,۹  | ۳۷,۲               | ۵,۹  |
| ·۴۳      | ۱۳,۵               | ۲۲,۳   | ۱۴,۲               | ۲۲,۷   | ۳۵,۲               | ۵,۳  | ۳۵,۲               | ۵,۳  |
| ·۰۴      | ۱۳,۴               | ۳۳,۵   | ۱۳,۸               | ۳۰,۸   | ۲۱,۸               | ۳,۹  | ۳۶,۹               | ۶,۰  |
| ·۶۲      | ۱۲,۴               | ۲۲,۵   | ۱۳,۰               | ۲۵,۵   | ۱۹,۵               | ۶,۹  | ۳۴,۸               | ۷,۷  |
| ۲۳۱      | ۱۳,۱               | ۳۳,۲   | ۱۳,۱               | ۲۵,۵   | ۳۸,۸               | ۵,۸  | ۲۱,۷               | ۹,۹  |
| ۱۷۰      | ۱۲,۲               | ۳۲,۲   | ۱۲,۶               | ۲۹,۷   | ۳۶,۲               | ۹,۲  | ۱۹,۳               | ۸,۴  |
| ۳۱۲      | ۱۲,۶               | ۲۳,۲   | ۱۲,۷               | ۲۵,۴   | ۳۹,۱               | ۷,۱  | ۲۱,۸               | ۹,۸  |
| ۲۲۲      | ۱۳,۲               | ۲۶,۱   | ۱۳,۳               | ۲۴,۲   | ۲۱,۸               | ۹,۲  | ۳۹,۳               | ۶,۸  |
| ۳۴۰      | ۱۳,۹               | ۳۷,۷   | ۱۳,۷               | ۲۴,۸   | ۳۹,۱               | ۵,۴  | ۲۱,۵               | ۹,۵  |
| ۱۳۴      | ۱۴,۱               | ۲۷,۴   | ۱۴,۷               | ۲۴,۴   | ۳۷,۰               | ۵,۹  | ۲۱,۳               | ۳,۴  |
| $R_{WP}$ | ۹,۴                |  | ۱۲,۶               |  | ۱۲,۲               |  | ۱۲,۹               |  |

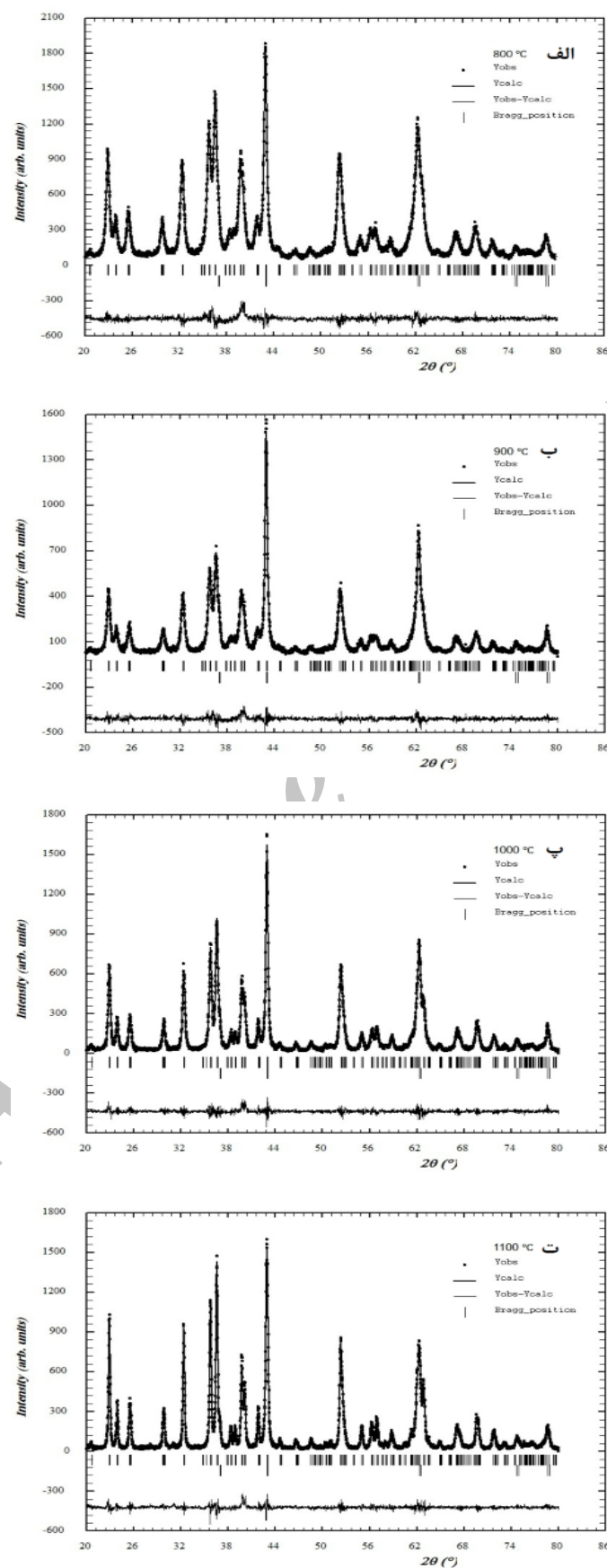
جدول ۳ اندازه‌ی حجمی بلورک‌ها و کرنش شبکه‌ی فاز  $MgO$  به صورت تابعی از  $hkl$ ، خطای محاسبه‌ی کمیت‌ها، کمتر از  $5\%$  براورد می‌شود.

| hkl             | ۸۰۰ °C                    |  | ۹۰۰ °C                    |  | ۱۰۰۰ °C                   |  | ۱۱۰۰ °C                   |  |
|-----------------|---------------------------|--|---------------------------|--|---------------------------|--|---------------------------|--|
|                 | D <sub>v,aniso</sub> (nm) | <ε> <sub>aniso</sub> $^{1/2} \times 10^{-4}$ | D <sub>v,aniso</sub> (nm) | <ε> <sub>aniso</sub> $^{1/2} \times 10^{-4}$ | D <sub>v,aniso</sub> (nm) | <ε> <sub>aniso</sub> $^{1/2} \times 10^{-4}$ | D <sub>v,aniso</sub> (nm) | <ε> <sub>aniso</sub> $^{1/2} \times 10^{-4}$ |
| 111             | ۲۱.۳                      | ۱۵.۶   | ۲۴.۸                      | ۹.۶  | ۳۰.۹                      | ۸.۷  | ۳۵.۶                      | ۱۲.۵   |
| 200             | ۱۶.۱                      | ۰  | ۲۱.۳                      | ۰  | ۲۵.۵                      | ۸.۳  | ۲۶.۰                      | ۳.۱  |
| 220             | ۲۰.۰                      | ۱۳.۵   | ۲۵.۰                      | ۸.۳  | ۲۹.۰                      | ۶.۳  | ۳۳.۰                      | ۱۱.۱   |
| 311             | ۱۴.۸                      | ۱۰.۷   | ۱۸.۶                      | ۶.۶  | ۲۳.۵                      | ۱.۰  | ۲۴.۹                      | ۸.۹  |
| 222             | ۲۱.۳                      | ۱۵.۶   | ۲۴.۸                      | ۹.۶  | ۳۰.۹                      | ۸.۷  | ۳۵.۶                      | ۱۲.۵   |
| R <sub>WP</sub> |                           | ۹.۴  |                           | ۱۲.۶   |                           | ۱۲.۳   |                           | ۱۲.۹   |

۹۰۰ °C و ۸۰۰ °C است. این ناهمسانگردی در کرنش و اندازه‌ی بلورک‌ها در نگاشت‌های فوریه (شکل ۵ و ۶) نیز دیده می‌شود. چنانکه از این نگاشت‌ها پیداست، ناهمسانگردی کرنش نمایان‌تر از ناهمسانگردی شکل بلورک‌ها است. نقش‌های پراش مشاهده شده و محاسبه شده در شکل ۷ آورده شده‌اند. با توجه به اختلاف ناچیز بین این نقش‌ها و مقادیر نسبتاً پایین R<sub>WP</sub>، پالایش کاملاً رضایت‌بخش است.

از شکل (۴) و جدول‌های (۲ و ۳)، چنین بر می‌آید که پهن-شدگی ناهمسانگرد بوده و اندازه‌ی بلورک‌ها و کرنش به شاخص‌های میلر وابسته‌اند و این ناهمسانگردی به دمای باز پخت بستگی دارد. برای فاز  $Mg_2SiO_4$  بیشترین ناهمسانگردی در اندازه‌ی بلورک‌ها تقریباً ۱۰۰٪ و از آن کرنش ۲۰۰٪ است که در دماهای بازپخت ۱۰۰۰ °C و ۱۱۰۰ °C دیده می‌شوند. کمترین مقدار ناهمسانگردی اندازه‌ی بلورک‌ها به ترتیب ۳۵ درصد و ۳۹ درصد است که متناظر با دماهای باز پخت

شکل ۵ برش ab نگاشت فوریه کرنش نمونه‌ی باز پخت شده در دمای ۱۰۰۰ °C: (الف) فاز  $Mg_2SiO_4$ ، (ب) فاز  $MgO$ .شکل ۶ برش ab نگاشت فوریه اندازه‌ی بلورک‌های نمونه‌ی بازپخت شده در دمای ۱۱۰۰ °C: (الف) فاز  $Mg_2SiO_4$ ، (ب) فاز  $MgO$ .



شکل ۷ نقش‌های پراش مشاهده شده و محاسبه شده در دماهای باز پخت: (الف) ۸۰۰، (ب) ۹۰۰، (پ) ۱۰۰۰ و (ت) ۱۱۰۰°C.

- [6] Klug H.P., Alexander L.E., "X-ray Diffraction Procedures for Polycrystalline and Amorphous Materials", John Wiley and Sons, (1974) p290, p291 and p 664.
- [7] Scherrer P., Nachr. Gött. 2 (1918) 98-100.
- [8] Stokes A.R., Wilson A.J.C., "The diffraction of X rays by distorted crystal aggregates", Proceedings of the Physical Society, 56 (1944) 174-181.
- [9] Rietveld H.M. "A Profile Refinement Method for Nuclear and Magnetic Structures", Journal of Applied Crystallography, 2 (1969) 65-71.
- [10] Balzar D., "Voigt-function model in diffraction line-broadening analysis", in Defect and Microstructure Analysis from Diffraction, edited by R.L. Snyder, H.J. Bunge, and J. Fiala, International Union of Crystallography Monographs on Crystallography 10 (Oxford University Press, New York, 1999) (1999) 94-126.
- [11] Caglioti G., Paoletti A., Ricci F.P., "Choice of collimators for a crystal spectrometer for neutron diffraction, Nuclear Instrumentation", 3 (1958) 223-228.
- [12] Young R.A., Desai P., "Crystallite Size and Microstrain Indicators in Rietveld Refinement", Archives of Materials Science, 10 (1989) 71-90.
- [13] Balzar D. and Ledbetter H., "Voigt -function modeling in Fourier analysis of size- and strain-broadened X-ray diffraction peaks", Journal of Applied Crystallography, 26 (1993) 97-103.
- [14] Rodríguez-Carvajal J., Fernández-Díaz M.T., Martínez J.L., "Neutron diffraction study on structural and magnetic properties of  $\text{La}_2\text{NiO}_4$ ", Journal of Physics: Condensed Matter 3 (1991) 3215.
- [15] Rodríguez-Carvajal J., "Study of Micro-Structural Effects by Powder Diffraction Using the program FullProf", 2003.
- [16] Jarvinen M., "Application of symmetrized harmonics expansion to correction of the preferred orientation effect", Journal of Applied Crystallography, 26 (1993) 525-531.
- [17] <http://www.ill.eu/sites/fullprof>, Version Jan 2011.
- [18] Lutterotti L., Scardi P., Maistrelli P., "LSI - a computer program for simultaneous refinement of material structure and microstructure", Journal of Applied Crystallography, 25 (1992) 459-462.
- [19] Williamson G.K., Hall W.H., "x-ray line broadening from field Aluminum and wolfram", Acta Metal, 1 (1953) 22-31.

### برداشت

در این پژوهش با پیش ماده های نیترات سدیم شش آبه و تترا اتیل ارتوسیلیکات در حضور اسید نیتریک، به روش سل-ژل پودر  $\text{Mg}_2\text{SiO}_4$  در ابعاد نانو تهیه و ریز ساختار آن مورد بررسی قرار گرفت. این بررسی ها نشان داد روش به کار گرفته شده منجر به تولید نانو پودری می شود که حدود ۷۵ درصد آن  $\text{Mg}_2\text{SiO}_4$  و ۲۵ درصد آن  $\text{MgO}$  است؛ نکته ای که در مرجع [۵] به آن اشاره نشده است. علت آن را می توان هم  $\text{MgO}$  پوشانی خطوط پراش دانست که تشخیص خطوط پراش را نا ممکن می سازد و تنها می توان با برازش کل نقش پراش و پالایش ساختار، به وجود فاز  $\text{MgO}$  پی برد. به نظر می رسد که در بازه ۵ $^{\circ}\text{C}$  تا ۸۰۰ $^{\circ}\text{C}$ ، دمای باز پخت تأثیر چندانی در سهم فاز ها ندارد. توصیه می شود دمای باز پخت کمتر از ۸۰۰ نیز آزموده شود تا نقش دمای باز پخت در تعیین سهم فاز ها بهتر نمایان شود. تحلیل داده های پراش بر اساس نظریه ی بهن شدگی نشان می دهد که شکل نانو پودرها به کره نزدیک است ولی با این وجود بررسی دقیق تر، وجود ناهمسانگردی در اندازه های بلورک ها و به ویژه کرنش را تأیید می کند. بررسی نمونه ها با میکروسکوپ الکترونی TEM نیز می تواند به تعیین شکل و اندازه های بلورک ها کمک کند.

### مراجع

- [1] Hushur A., et al., "Crystal chemistry of hydrous forsterite and its vibrational properties up to 41 GPa", American Mineralogist, 94 (2009) 899 – 904.
- [2] Saberi A., et al, "A novel method to low temperature synthesis of nanocrystalline forsterite", Materials Research Bulletin, (2007) 666–673.
- [3] Lazewski J., Jochyn P.T., Parlinski K., Piekarz P., "Lattice dynamics of  $\text{Mg}_2\text{SiO}_4$ ", Journal of Molecular Structure, 596 (2001) 3-6.
- [4] Kharaziha M., Fathi M.H. "Synthesis and characterization of bioactive forsterite nanopowder", Ceramics International, (2009) 2449-2454.
- [5] Sanosh K.P., Balkarishnan A., Francis L., Kim T.N., "Sol-gel synthesis of forsterite nanopowders with narrow particle size distribution", Journal of Alloys and Compounds, (2010) 113-115.